
Geometrijski parametri krila

Konstrukcija i tehnologija proizvodnje letelica

Zlatko Petrović & Aleksandar Grbović & Jelena Svorcan &
Miloš Petrašinić

2019/2020.



Sadržaj

Uvod

O izboru pogonske grupe . . .

Geometrija krila



Uvod – 1/24

Iz predavanja sa prethodnog časa:

- Izbor P/W i W/S na osnovu statističke analize izvedenih konstrukcija.
- Ne treba birati izbornu tačku na granici oblasti zbog:
 - ▶ Statističke greške,
 - ▶ Kasnije dorade zahteva,
 - ▶ Kasnijih tačnijih proračuna.
- Granice $P/W - W/S$ se određuju iz zahteva: poletanja, sletanja, penjanja i horizontalne brzine.



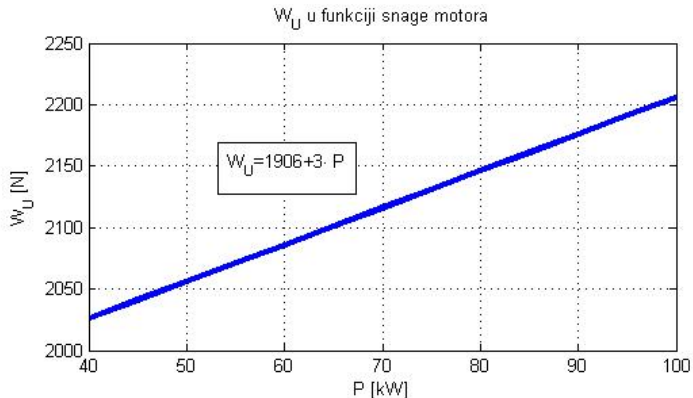
Uvod – 2/24

Na osnovu ASTM F2245 propisa:

- Maksimalna težina na poletanju: $W_o = 472 \cdot 9.81 \cong 4630$ [N].
- Korisni teret i padobran:
 $W_U = 1690 + 3 \cdot P + 22 \cdot 9.81 \cong 1906 + 3 \cdot P$, gde je P snaga motora u [kW]!
- Brzina penjanja $V_y \geq 1.6$ [m/s], gradijent penjanja $\theta \geq 1/12$.
- Brzina sletanja u konfiguraciji zakrilaca "0" $V \geq 1.3 \cdot V_{S_0}$.
- Brzina poletanja u konfiguraciji zakrilaca "1" $V \geq 1.2 \cdot V_{S_1}$.



Uvod – 3/24



Slika: Ukupna korisna težina W_U u funkciji snage motora



Uvod – 4/24

Primer

Odrediti oblast prihvatljivih vrednosti P/W i W/S za letelicu maksimalne poletne težine sa padobranom $W_o = 472 \cdot 9.81 \cong 4630$ [N], ako je maksimalna visina krstarenja $H = 500$ [m], a dužina voženja iznosi $L_s = 150$ [m]. Koristiti statističke trendove iz prethodnog predavanja. Brzina krstarenja oko 160 [km/h], a maksimalna brzina 200 [km/h].



Uvod – 5/24

Rešenje

Korisna težina letelice:

$$W_U = 1906 + 3 \cdot P \text{ [N]},$$

gde je u 1960 uračunata težina dva putnika i težina padobrana.
Ukoliko je snaga P data u [hp], tada je P u [kW]:

$$P \text{ [kW]} = 0.7457 \cdot P \text{ [hp]},$$

pa gornja formula za korisni teret glasi:

$$W_U = 1906 + 2.24 \cdot P, \quad \text{gde je } P \text{ u [hp], a rezultat u [N].}$$



Uvod – 6/24

Usvojicemo maksimalnu finesu koja odgovara srednje dobrom aerodinamičkom obliku (pošto želimo da pravimo letelicu bez velike upotrebe presa, znači limovi samo sa jednom krivinom!):

$$\left(\frac{L}{D}\right)_{\max} = 8.5.$$

Provericemo dolet ukoliko koristimo motore izmedju 50 [hp] i 100 [hp]. Iz:

$$W_o = W_e + W_U + W_F, \quad \Rightarrow \quad \frac{W_F}{W_o} = 1 - \frac{W_e}{W_o} - \frac{W_U}{W_o}.$$

Ranije smo utvrdili da je $W_e/W_o \cong 0.55$ tako da je:

$$\frac{W_F}{W_o} = 0.45 - \frac{W_U}{W_o} = 0.45 - \frac{1906 + 2.24 \cdot P}{4630}.$$



Uvod – 7/24

Ili nakon sredjivanja:

$$\frac{W_F}{W_o} = 0.0383 - 4.84 \cdot 10^{-4} \cdot P.$$

Prema propisima: da bi letelica spadala u LSA kategoriju mora biti lakša od 4630 [N] sa kompletnim korisnim teretom i gorivom za **pola sata leta**. Dozvoljava se prekoračenje poletne težine letelice u fazi sertifikovanja od 7%!

Iz prethodne jednačine dobijamo količinu goriva za let:

$$W_F = \frac{0.0383 - 4.84 \cdot 10^{-4} \cdot P}{1.06} \cdot 4630.$$



Uvod – 8/24

Vreme rada motora za poznatu količinu goriva odredjujemo iz:

$$\frac{W_F}{P} = c \cdot t, \quad \text{gde je: } c = 3 \text{ [N/kW} \cdot \text{h]} = 2.24 \text{ [N/hp} \cdot \text{h]}$$

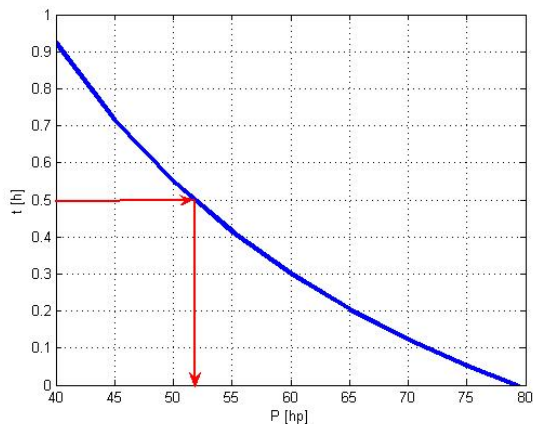
Iz prethodne jednačine sledi:

$$t = \frac{0.0383 - 4.84 \cdot 10^{-4} \cdot P}{1.06 \cdot P \cdot c} \cdot 4630 = \frac{74.7 - 0.944 \cdot P}{P},$$

kada je P u [hp].



Uvod – 9/24



Slika: Vreme leta t u funkciji snage motora u [hp]



Uvod – 10/24

Sa druge strane, potrebna količina goriva za let od pola sata se izračunava:

$$W_F = P \cdot c \cdot 0.5 = 1.12 \cdot P.$$

Kada je $P = 100$ [hp] potrebna količina goriva je:

$$W_F = 1.12 \cdot 100 = 112 \text{ [N]}.$$

Ova masa u odnosu na maksimalnu masu iznosi:

$$\frac{W_F}{W_o} \cdot 100\% = 100 \cdot \frac{112}{4630} \cong 2.4\%.$$

Kako ASTM F 2240 dozvoljava prekoračenje težine u fazi sertifikovanja od 7%, znači da se uklapamo, **ali jedva!**



Uvod – 11/24

- Rajmerov trend za W/P :

$$\frac{W}{P} = 1.87 \cdot V_{\max}^{-0.61} = 1.87 \cdot 200^{-0.61} \cong 0.0738.$$

- Odakle sledi:

$$\frac{P}{W} \cong 13.5 \text{ [W/N]}.$$

- Na prethodnom predavanju smo izračunali očekivanu površinu krila:

$$S = 12 \div 12.8 \text{ [m}^2\text{]}, \quad \frac{W}{S} = 362 \div 386 \text{ [N/m}^2\text{]}.$$



Uvod – 12/24

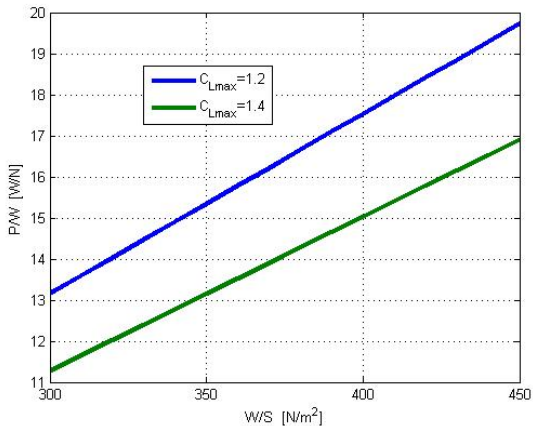
- Imamo očekivane vrednosti P/W i W/S , ali moramo utvrditi da li sa tim očekivanim vrednostima zadovoljavamo ostale zahteve!
- Najkraće piste na sportskim aerodromima u Evropi su dugačke oko 300 [m]. Usvojicemo $L_{pol} = 250$ [m]. Iz prethodnog predavanja:

$$\frac{P}{W} = \frac{9.25 \cdot W/S}{C_{L_{max}} \cdot (L_{pol} - 74.2)} \cong 0.0526 \cdot \frac{W/S}{C_{L_{max}}}$$

- Odredićemo graničnu krivu za $C_{L_{max}} = 1.2$ i za $C_{L_{max}} = 1.4$.



Uvod – 13/24



Uvod – 14/24

- Dužina voženja (u sletanju) je zadata i iznosi $L_{voz} = 150$ [m]. Na osnovu predavanja sa prethodnog časa:

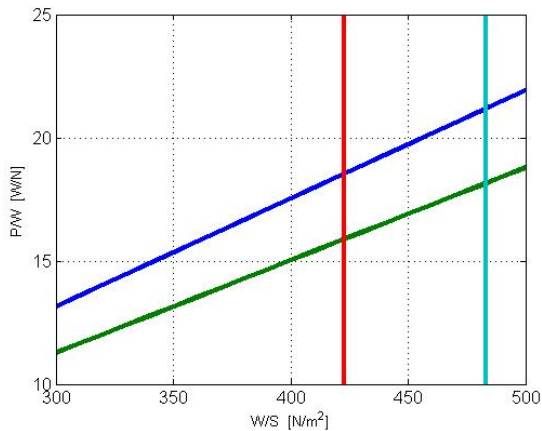
$$\frac{W}{S} \leq 1.642 \frac{\rho \cdot C_{L_{max,sl}} \cdot L_{voz}}{K_{ut}} = 1.642 \cdot \frac{1.225 \cdot C_{L_{max,sl}} \cdot 150}{1.0}$$

- Usvojili smo koeficijent umanjenja težine na sletanju $K_{ut} = 1.0$. Izračunaćemo granice za $C_{L_{max,sl}} \in \{1.4, 1.6\}$.
- Iz prethodnog sledi:

$$\frac{W}{S} \leq 302 \cdot C_{L_{max,sl}}, \quad \frac{W}{S} \leq 423, \quad \frac{W}{S} \leq 483.$$



Uvod – 15/24



Uvod – 16/24

- Za odredjivanje granične krive za penjanje ($V_y > 1.6$ [m/s]) neophodno je odrediti:

$$C_{D_{opol}} = C_{D_{oplaner}} + \Delta C_{D_{omeh}} + \Delta C_{D_{ostaj}}.$$

- Za prosta krilca $\Delta C_{D_{omeh}} \cong 0.014$, a za fiksni stajni trap $\Delta C_{D_{ostaj}} \cong 0.022$. Odabrali smo vrednosti veće od prosečnih (garažna avijacija).
- Otpor letelice:

$$C_{D_{oplaner}} = \frac{W}{S} \cdot C_{fe} \cdot k_1 \cdot \left(\frac{W_o}{10} \right)^{\beta-1}.$$



Uvod – 17/24

- Preporučene vrednosti koeficijenta za jednomotorne letelice:

$$C_{fe} = 0.006, \quad k_1 = 0.171, \quad \beta = 0.5147,$$

tako da je:

$$C_{D_{o_{planer}}} = \frac{W}{S} \cdot 0.006 \cdot 0.171 \cdot \left(\frac{4630}{10} \right)^{0.5147-1} \cong \frac{W}{S} \cdot 5.22 \cdot 10^{-5}.$$

- Specifična snaga mora zadovoljiti za $V_y \geq 1.6$ [m/s]:

$$\frac{P}{W} \geq 2.24 + k_2 \sqrt{\frac{W}{S}} \cdot \sqrt[4]{C_{D_{o_{pol}}}}, \quad k_2 \cong 0.44.$$



Uvod – 18/24

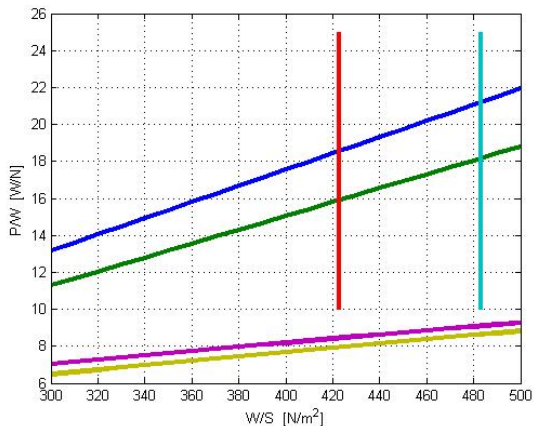
- Gradient penjanja mora biti veći od $\theta \geq 1/12 \cong 0.0833$ što daje graničnu krivu:

$$\frac{P}{W} \geq 0.896 \cdot \sqrt{W/S} \cdot \left(\frac{0.0833}{\sqrt[4]{C_{D_{opol}}}} + 0.453 \cdot \sqrt[4]{C_{D_{opol}}} \right).$$

- Zahtevi za penjanjem su blaži od zahteva za poletanjem, kako se i vidi sa sledećeg slajda.



Uvod – 19/24



Uvod – 20/24

- Iz uslova maksimalne brzine ($V_{\max} = 200$ [km/h]) i trenda sa prethodnog predavanja:

$$\frac{P}{W} \geq \frac{745.7 \cdot \sigma}{A_H \cdot W/S} \cdot \left(\frac{V_{\max}}{103 \cdot k_3} \right)^3.$$

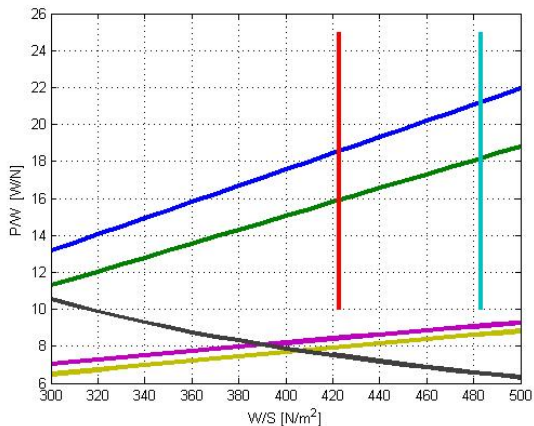
- Za motor bez turbopunjača $A_H \cong \sigma$ i za letelicu sa fiksnim stajnim trapom i upornicom $k_3 = 1.2$.
- Prethodna nejednakost daje:

$$\frac{P}{W} \geq \frac{745.7}{W/S} \cdot \left(\frac{200}{103 \cdot 1.2} \right)^3 = \frac{3159}{W/S}.$$

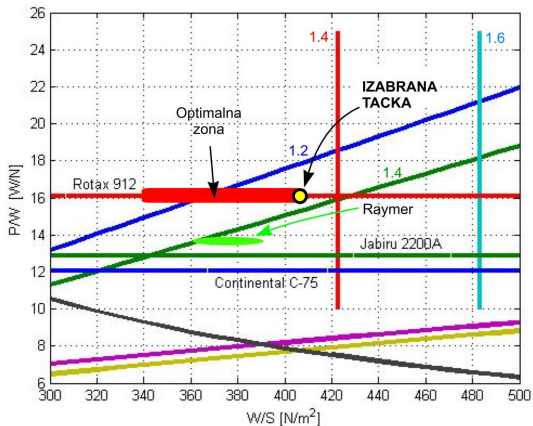
- I ovaj uslov je blaži od zahteva za poletanjem – sledeći slajd!



Uvod – 21/24



Uvod – 22/24



Slika: Granične krive sa raspoloživim motorima



Uvod – 23/24

- Dobijeni odnos $P/W = 16.2$ [W/N] i $W/S = 408$ [N/m²] ćemo uzeti u razmatranje bez dalje optimizacije.
- U stvarnosti bi trebalo probati varijaciju nekoliko parametara do postizanja “optimuma”. Možda probati drugačije vrednosti ili kombinacije parametara, recimo da umesto dužine poletanja probamo sa dužinom zaleta.
- Našu “izabranu tačku” smo odabrali da bude blizu granične linije, ali da imamo malu rezervu ukoliko bi u toku razrade konstrukcije došlo do blage izmene zahteva.
- Za poletanje bez mehanizacije ($C_{L_{\max}} = 1.2$) morali bismo odabrati veće krilo, recimo $W/S = 350$ [N/m²]!



Uvod – 24/24

- Podsetimo se da je Rajmerova trend jednačina davala $P/W = 13.5 \text{ W/N}$, a da smo mi na kraju odabrali $P/W = 16.2 \text{ W/N}$.
- Dok je očekivano opterećenje krila bilo između $362 \text{ N/m}^2 \leq W/S \leq 386 \text{ N/m}^2$.
- U oba slučaja smo van očekivanih vrednosti (delimično zato što nismo vršili optimizaciju, a delimično i zato što nam je uslov poletanja veoma oštar!
- Snagu motora znamo i ona iznosi $P = 100 \text{ [hp]} \cong 75 \text{ [kW]}$, dok se površina krila dobija iz:

$$S = \frac{W_o}{W/S} = \frac{4630}{408} \cong 11.35 \text{ [m}^2\text{]}.$$



O izboru pogonske grupe ... – 1/13

- Pogonska grupa/motor omogućava let proizvodeći vučnu silu koja uravnotežava ili nadvladava silu otpora.
- Najčešće se bira kada su osnovni zahtevi/specifikacije definisani/proračunati.
- Najzastupljeniji su: klipni, turboelisni, mlazni, električni, ...
- Pri izboru treba voditi računa o:
 - ▶ nameni i misiji letelice, vrsti/tipu pogonske grupe,
 - ▶ raspoloživoj snazi P ili vučnoj sili T ,
 - ▶ ceni, mogućnosti nabavke i vremenu i uslovima isporuke,
 - ▶ ceni, dostupnosti i efikasnosti goriva,
 - ▶ pratećim sistemima, potrebama hladjenja,
 - ▶ održavanju, rezervnim delovima, ...



O izboru pogonske grupe ... – 2/13

Klipni/klipnoelisni motori

Uglavnom rade po principu Otovog termodinamičkog ciklusa.

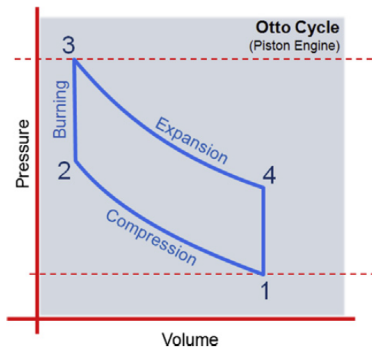
1. Mešavina vazduha i goriva se sabija (pritisak raste) pomeranjem klipa: linija 1-2,
2. Sagorevanje – oslobadjanje hemijske energije i porast pritiska bez promene zapremine: linija 2-3,
3. Širenje gasa, potiskivanje klipa i pad pritiska, linija 3-4,
4. Otvaranje ventila, ispuštanje produkata sagorevanja, pražnjenje radne zapremine i smanjenje pritiska, linija 4-1.

Ponavljjanje ciklusa.



O izboru pogonske grupe ... – 3/13

Klipni/klipnoelisni motori



Slika: Termodinamički ciklus klipnog motora (2 adijabate, 2 izohore)



O izboru pogonske grupe ... – 4/13

Klipni/klipnoelisni motori

Najznačajnije veličine:

- snaga P (isporučena vratilu motora, elise),
- obrtni moment M , broj obrtaja ω ,
- (vučna sila T koju ovde obezbedjuje elisa, veza $\eta_e P = TV$),
- specifična potrošnja goriva c – masa ili težina goriva koja se sagori u jedinici vremena za jedinicu snage.

Prethodno:

$$c \approx (6.5 \div 8.5) \cdot 10^{-7} [1/m],$$

što odgovara:

$$c \approx (0.065 \div 0.085) [mg/Ws].$$



O izboru pogonske grupe ... – 5/13

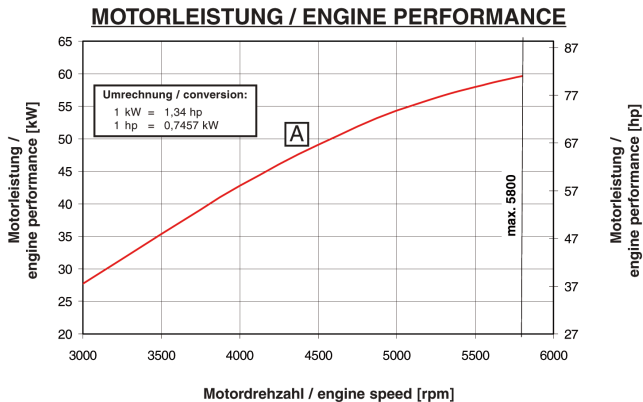
Rotax 912 UL/A/F

Više informacija na <https://www.flyrotax.com/produkte/detail/rotax-912-ul-a-f.html>.



O izboru pogonske grupe ... – 6/13

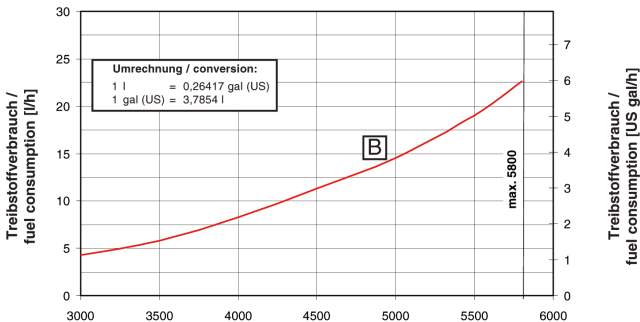
Rotax 912 UL/A/F – iz dokumentacije



O izboru pogonske grupe ... – 7/13

Rotax 912 UL/A/F – iz dokumentacije

TREIBSTOFFVERBRAUCH / FUEL CONSUMPTION



A: take off

B: propeller curve



O izboru pogonske grupe ... – 8/13

Rotax 912 UL/A/F

Specifičnu potrošnju c za npr. najveću snagu P_{\max} možemo izračunati iz:

$$W_F = m_F \cdot g = \rho_F \cdot V_F \cdot g = c \cdot P \cdot t \Rightarrow c = \frac{\rho_F \cdot \dot{V}_F \cdot g}{P}.$$

Iz dokumentacije (prethodnih grafika) se očitava $P_{\max} \approx 60 \text{ kW}$ i $\dot{V}_F \approx 22.5 \text{ l/h}$. Tada:

$$c = \frac{\rho_F \cdot \dot{V}_F \cdot g}{P} = \frac{720 \frac{\text{kg}}{\text{m}^3} \cdot 22.5 \frac{10^{-3} \text{ m}^3}{3600 \text{ s}} \cdot 9.81 \frac{\text{m}}{\text{s}^2}}{60 \cdot 10^3 \text{ W}} = 7.36 \cdot 10^{-7} \frac{1}{\text{m}}.$$



O izboru pogonske grupe ... – 9/13

Rotax 912 IS/ICS Sport

Više informacija na <https://www.flyrotax.com/produkte/detail/rotax-912-is-isc-sport.html>.



O izboru pogonske grupe ... – 10/13

Rotax 912 IS/ICS Sport

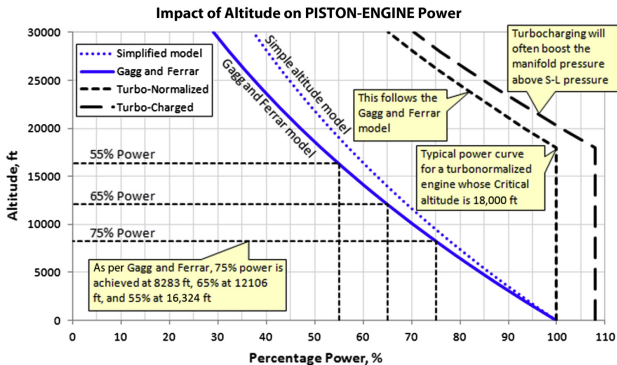
Karakteristike:

- 4-cilindarski,
- 4-taktni,
- mase $m = 63.6$ kg, sa pratećim sistemima $m_{tot} = 75.4$ kg,
- maksimalne snage $P_{max} = 73.5$ kW,
- učestanosti $n = 5800$ obrt/min,
- obrtnog momenta $M = 132$ Nm,
- ...



O izboru pogonske grupe ... – 11/13

Uticaj visine na performanse motora

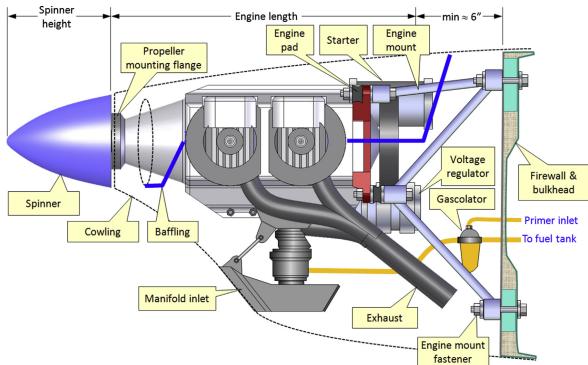


Približno: $P = P_o \frac{\rho}{\rho_o}$.



O izboru pogonske grupe ... – 12/13

Instalacija na letelici



O izboru pogonske grupe ... – 13/13

Instalacija na letelici

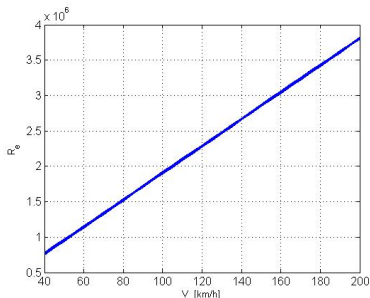


Geometrija krila – 1/15

- Rejnoldsov broj za dužinu od 1 [m]:

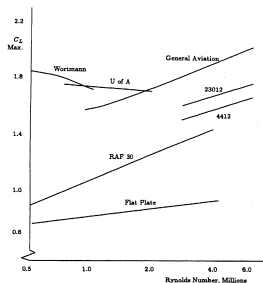
$$Re = \frac{V \cdot 1}{\nu} = \frac{V}{1.46072 \times 10^{-5}} \cong 68.5 \times 10^3 \cdot V$$

- Dijagram Rejnoldsovih brojeva Re za jediničnu dužinu u funkciji brzine leta V je dat na donjem grafiku.

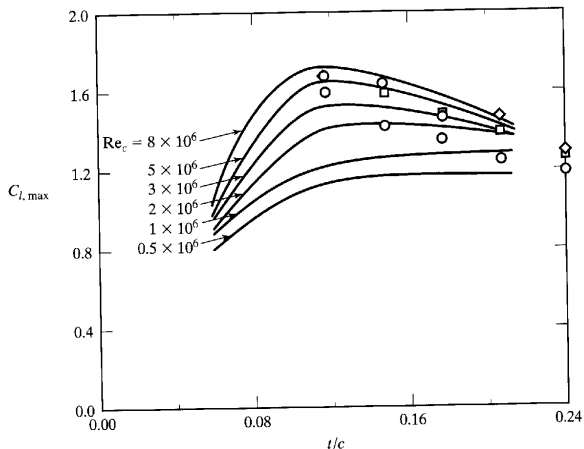


Geometrija krila – 2/15

- Iz prethodnog dijagrama je jasno da se raspon Reynoldsovih brojeva za uobičajene dužine tetiva letelica ($c \leq 1.5$ m) nalazi u intervalu $2 \times 10^6 \leq Re \leq 6 \times 10^6$.
- To znači da za taj raspon Reynoldsovih brojeva treba birati odgovarajuće aeroprofile.



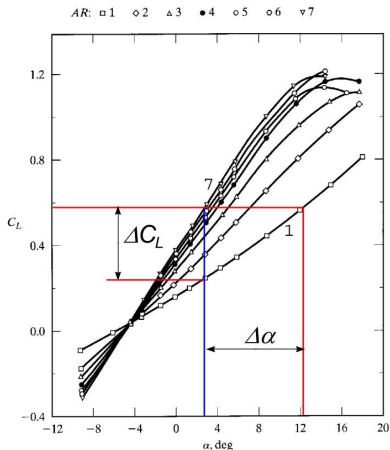
Geometrija krila – 3/15



Slika: Trapezno krilo – deblji aeroprofil na vrhu!



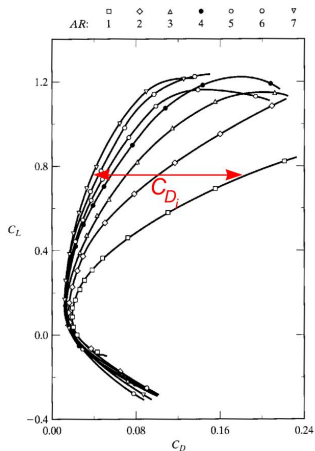
Geometrija krila – 4/15



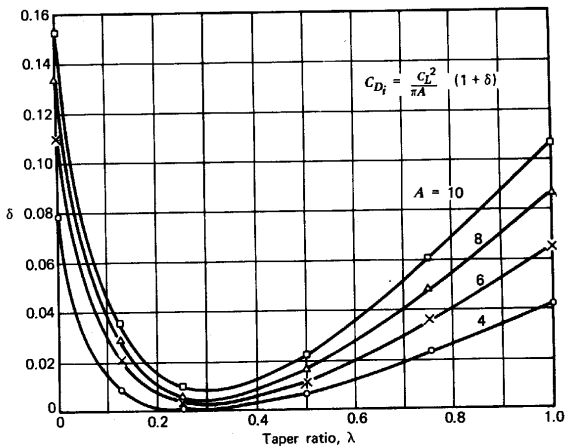
Slika: Uticaj vitkosti krila na gradijent uzgona krila!



Geometrija krila – 5/15

Slika: Uticaj vitkosti krila na indukovani otpor C_{D_i} !

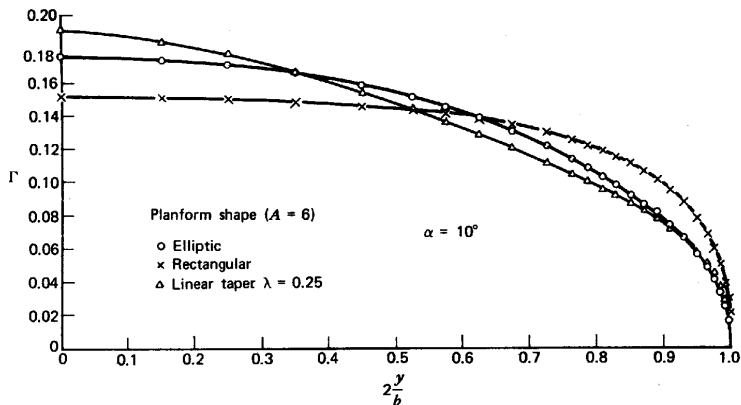
Geometrija krila – 6/15



Slika: Uticaj suženja krila ($\lambda = c_t/c_r$) na indukovani otpor



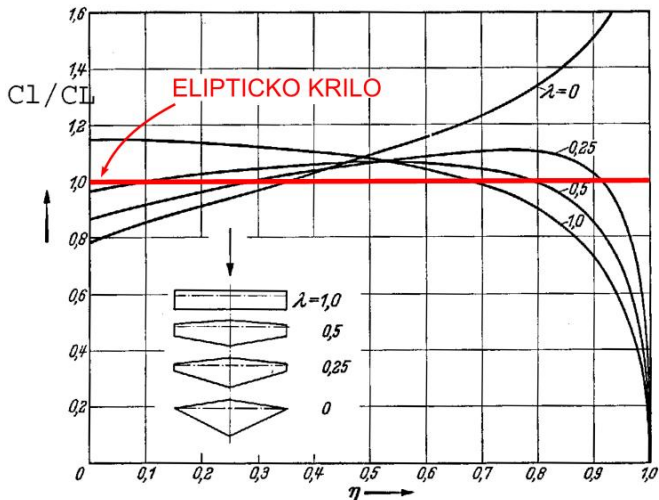
Geometrija krila – 7/15



Slika: Eliptička raspodela ima najmanji indukovani otpor

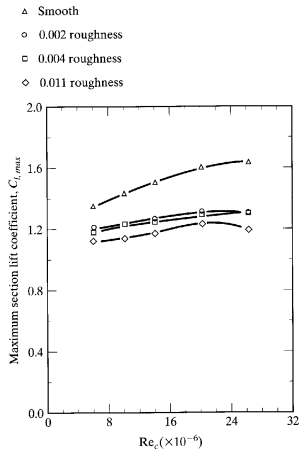


Geometrija krila – 8/15



Slika: Lokalni koeficijent uzgona treba da ima na krajevima krila rezervu od otcepljenja!

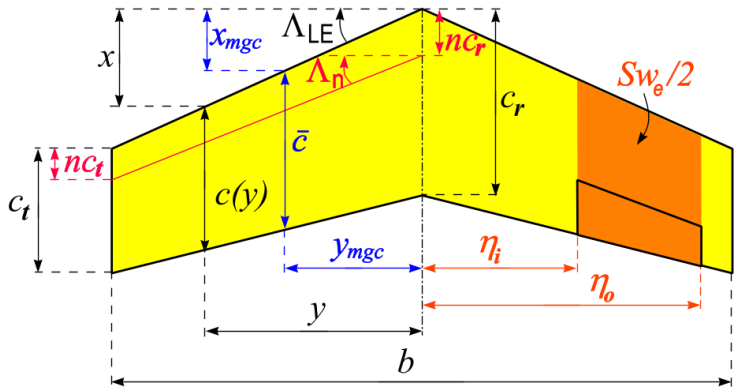
Geometrija krila – 9/15



Slika: Uticaj hrapavosti na maksimalni koeficijent uzgona $C_{L_{max}}$



Geometrija krila – 10/15



Slika: Geometrijski parametri krila



Geometrija krila – 11/15

- Za našu letelicu treba birati aeroprofile Univerziteta iz Alberta ili Vortmanovu FX seriju aeroprofila.
- Na svu sreću, sa smanjivanjem Reynoldsovog broja hrapavost ima manji značaj.
- Male vitkosti krila imaju značajan indukovani otpor.
- Velike vitkosti krila imaju mali Reynoldsov broj, mali prostor za rezervoare goriva, malo rastojanje između pojaseva ramenače i povećanu težinu krila!
- Raspodela **circulacije** je najpovoljnija za eliptičko krilo (najmanji indukovani otpor) ali zbog smanjenja tetive opada maksimalni koeficijent uzgona na kraju krila.
- Eliptičko krilo ima teoretski najveću nosivost, ali zbog uticaja Re otcepiće se prvo na kraju.



Geometrija krila – 12/15

- Trapezno krilo ima najveći koeficijent uzgona na kraju krila, gde je maksimalni koeficijent uzgona manji zbog manjeg Re . Zbog toga je neophodno vitoperiti trapezno krilo (smanjiti napadni ugao na kraju krila).
- Optimalno vitoperenje nije linearno! Praktično ga treba provesti na 40% ÷ 50% polurazmaha sa kraja krila!
- Vitoperenjem krila se smanjuje maksimalni koeficijent uzgona krila u odnosu na aeroprofil!
- Iz tehnoloških razloga vitoperenje se sprovodi linearno (još veće smanjenje maksimalnog koeficijenta uzgona krila u odnosu na aeroprofil).
- Nevitopereno trapezno krilo ima relativno malu maksimalnu nosivost jer se krajevi krila otcepljuju pre nego što glavni deo krila dodje do svog maksimuma.

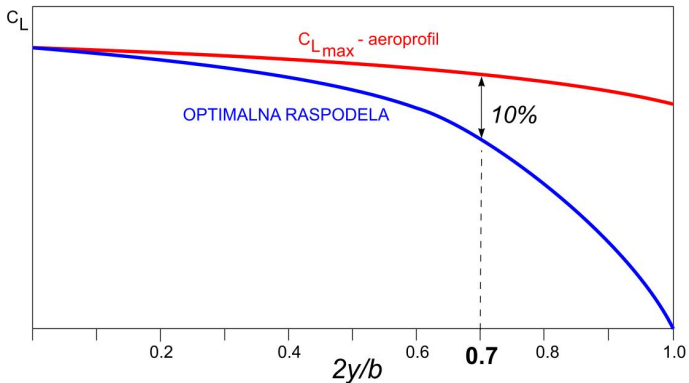


Geometrija krila – 13/15

- Otcepljenje u zoni krilaca je opasno jer onemogućuje komandovanje krilcima.
- Za nekoliko preseka duž razmaha u uslovima sletanja i poletanja treba odrediti maksimalni koeficijent uzgona (s obzirom na aeroprofil i Re).
- Nacrtati ispod krive maksimalnih lokalnih uzgona krivu poželjnih lokalnih uzgona (rezerva protiv otcepljenja).
- Vitoperiti aeroprofil po krivi poželjnih maksimalnih koeficijenata uzgona.
- Odabrati tetivu tako da se dobije eliptička raspodela cirkulacije!
- Korigovati oblik krila s obzirom na tehnološkičnost proizvodnje!



Geometrija krila – 14/15



Slika: "Optimalna" raspodela lokalnog koeficijenta uzgona



Geometrija krila – 15/15

- Kako imamo problem sa težinom (ograničenje) odgovara nam deblje krilo i krilo manje vitkosti (veća tetiva).
- Zbog garažne proizvodnje nećemo sužavati krilo već ćemo ga ostaviti sa konstantnom tetivom duž razmaha.
- Za svaki slučaj vitoperićemo ga malo na kraju krila, iako pravougaono krilo ima dobru raspodelu maksimalnog koeficijenta uzgona, za ugao $\epsilon = 1^\circ$.
- Očekujemo pad nosivosti krila u odnosu na eliptičko krilo iste vitkosti za 15%!
- Pokušaćemo da odredimo vitkost s obzirom na nosivost krila i na maksimalnu brzinu.
- Sreća pa imamo jak motor!



Deo I

Statistička analiza



Sadržaj – 1/1

Sadržaj

Uvod

Razmah krila

Suženje krila

Srednja geometrijska tetiva (SGT) krila

Relativna debljina krila

Izbor aeroprofila

Uticaj vitoperenja na otcepljenje krila

Krilca



Uvod – 1/6

- Broj letelica ove kategorije je dovoljan da se na osnovu statističkih podataka bez analize mehanike leta i aerodinamike odrede konstruktivni parametri letelice.
- Ugao dijedra kod visokokrilaca se kreće od 1° do 2° dok kod niskokrilaca iznosi: $5^\circ - 7^\circ$.
- Ugao ugradnje krila je između 1.5° i 4° .
- Relativna tetiva krilaca i zakrilaca $\bar{c}_F = 0.25(\pm 0.05)$.



Uvod – 2/6

- Površina krila i tip mehanizacije direktno utiču na performanse letelice.
- Oblik krila utiče na ponašanje letelice pri letu minimalnom brzinom (otcepljenje) i na veličinu induktivnog otpora.
- Oblik krila se definiše kao projekcija krila na podlogu pri pogledu odozgo.
- Taj oblik je okarakterisan vitkošću krila i suženjem krila:

$$\mathcal{R} = \frac{b^2}{S}, \quad \lambda = \frac{c_t}{c_r}.$$

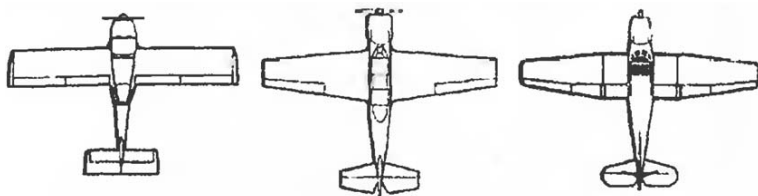


Uvod – 3/6

- Ne postoji samo jedno krilo koje zadovoljava TTZ letelice. Optimizacija vazduhoplova je višekriterijumski problem.
- U ovoj kategoriji letelica najčešće se koriste jedan od tri oblika prikazana na sledećem slajdu.
- Pravougaono krilo se najlakše pravi u garažnim uslovima. Aerodinamički je lošije u odnosu na trapezno.
- Uglavnom se koristi kada je broj letelica u proizvodnji mali ili kada je prodajna cena odlučujući faktor.
- Krila sa upornicom imaju veću vitkost. Mehanizacija je prosta.
- Najteža su (bez upornice), relativno manji prostor za gorivo i stalni trap.



Uvod – 4/6



Trapezno krilo ima manji induktivni otpor, lako je, veliki moment inercije u korenu, lako se smešta gorivo i stajni trap, bez vitoperenja ima loše karakteristike pri otcepljenju strujanja.



Uvod – 5/6

- Krilo sa centropolanom zadržava dobre osobine trapeznog krila.
- Lako se pravi i konstruiše.
- Pogodno je za dvomotorne letelice.
- Induktivni otpor krila:

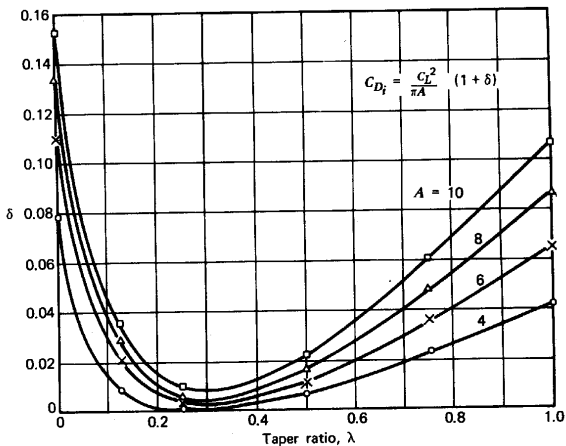
$$C_{Di} = \frac{1 + \delta}{\pi Re} C_L^2.$$

- Koeficijent δ zavisi od oblika krila:

$$\delta = \begin{cases} 0.002 \div 0.005 & \text{Trapezno krilo sa centropolanom} \\ 0.002 \div 0.08 & \text{Trapezno krilo} \\ 0.05 \div 0.12 & \text{Pravougaono krilo} \end{cases}$$



Uvod – 6/6



Slika: Uticaj suženja trapeznog krila ($\lambda = c_t/c_r$) na koeficijent δ



Razmah krila – 1/7

- Po definiciji:

$$R = \frac{b^2}{S}, \quad \Rightarrow \quad b = \sqrt{RS}.$$

- Povećanje razmaha smanjuje tetivu krila i unutrašnju zapreminu krila.
- Smanjuje koeficijent induktivnog otpora, smanjuje kritični napadni ugao, povećava gradijent krive uzgona, povećava efikasnost zakrilaca, neznatno raste otpor trenja krila.
- Povećanjem razmaha povećava se moment savijanja krila, smanjuje se krutost na savijanje i uvijanje, zadržavanje iste otpornosti i krutosti krila povećava masu krila.



Razmah krila – 2/7

- Povećanje razmaha povećava maseni moment inercije krila u odnosu na uzdužnu osu, povećava prigušenje krila u valjanju, smanjuje efikasnost krilaca male tetive.
- Trend analiza razmaha u funkciji površine krila i u funkciji poletne mase daje:

$$b = 4.42 + 0.406 \cdot S, \quad b = 8.8 + 0.000122 \cdot W_o.$$

- Trend izmedju parametra $U_G = \sqrt{P \cdot V_H}$ i opterećenja krila po razmahu W_o/b :

$$\frac{W_o}{b} = 82.7 + 5.95\sqrt{P \cdot V_H}, \quad b = \frac{W_o}{82.7 + 5.95\sqrt{P \cdot V_H}},$$

gde je P u [kW], V_H u [km/h], W_o u [N], a S u [m²].

Razmah krila – 3/7

- Alternativni trend:

$$\frac{b^2}{W_o} = 0.00271 + \frac{74.6}{W_o}.$$

- Odakle se dobija:

$$b = \sqrt{74.6 + 0.00271 \cdot W_o}.$$

- Vitkost krila se može odrediti iz istog trenda:

$$\frac{W_o}{b^2} = \frac{W_o/S}{\mathcal{R}}, \quad \mathcal{R} = \frac{W_o}{S} \cdot \frac{b^2}{W_o}.$$



Razmah krila – 4/7

- Trend po vitkosti krila ima znatnije rasipanje jer bilo koji način koji umanjuje težinu krila (upornica) ima za posledicu povećanje vitkosti krila.

Primer

Odrediti razmah i vitkost krila za našu letelicu koristeći se gornjim trendovima. $W_o = 4630$ [N], $P = 74.57$ [kW], $S = 11.35$ [m²], $V_H = 160$ [km/h].



Razmah krila – 5/7

Rešenje

Trendovi za razmah:

$$b = 4.42 + 0.406 \cdot S = 4.42 + 0.406 \cdot 11.35 \cong 9.03$$

$$b = 8.8 + 0.000122 \cdot W_o = 8.8 + 0.000122 \cdot 4630 \cong 9.36$$

$$b = \frac{W_o}{82.7 + 5.95\sqrt{P \cdot V_H}} = \frac{4630}{82.7 + 5.95 \cdot \sqrt{74.57 \cdot 160}} \cong 6.32$$

$$b = \sqrt{74.6 + 0.00271 \cdot W_o} = \sqrt{74.6 + 0.00271 \cdot 4630} \cong 9.34$$

Trend za vitkost:

$$R = \frac{W_o}{S} \cdot \left(0.00271 + \frac{74.6}{W_o} \right) = \frac{4630}{11.35} \cdot \left(0.00271 + \frac{74.6}{4630} \right) \cong 7.68$$

Razmah krila – 6/7

Vitkost za $b = 9.03$ [m]:

$$\mathcal{R} = \frac{b^2}{S} = \frac{9.03^2}{11.35} \cong 7.18$$

Vitkost za $b = 9.36$ [m]:

$$\mathcal{R} = \frac{b^2}{S} = \frac{9.36^2}{11.35} \cong 7.72$$

Naši proračuni daju za očekivanu vrednost vitkosti između 7.18 i 7.72. Stvarna veličina vitkosti krila se određuje naknadnom optimizacijom parametara letelice. Mi ćemo zbog daljih primera usvojiti aritmetičku sredinu izračunate tri vrednosti:

$$\mathcal{R} = \frac{7.18 + 7.68 + 7.72}{3} \cong 7.53$$

$$b = \sqrt{S \cdot \mathcal{R}} = \sqrt{11.35 \cdot 7.53} \cong 9.24 \text{ [m]}$$

Razmah krila – 7/7

```
% proracun geometrijskih karakteristika krila lake letelice
clear all, clc

% ulazni podaci
Wo = 4630;          % poletna tezina [N]
P = 74.57;         % snaga motora [kW]
S = 11.35;         % površina krila [m^2]
V = 160;           % brzina krstarenja [km/h]
Vmax = 200;        % max brzina [km/h]

% trendovi za razmah
b1 = 4.42 + 0.406*S;
b2 = 8.8 + 0.000122*Wo;
b3 = Wo/(82.7 + 5.95*sqrt(P*V));    % premalo!
b4 = sqrt(74.6 + 0.00274*Wo);

% trend za vitkost
AR1 = Wo/S*(0.00271 + 74.6/Wo);
AR2 = b1^2/S;
AR3 = b2^2/S;
AR = mean([AR1 AR2 AR3]);

b = sqrt(AR*S);
c = S/b;          % tetiva pravougaonog krila [m]
```

Suženje krila – 1/4

- Najveći uticaj na raspodelu opterećenja po razmahu.
- Što je manje $\lambda = c_t/c_r$ to je rezultujuća aerodinamička sila bliža ravni simetrije letelice čime se smanjuje moment savijanja krila.
- Visina aeroprofila u korenu raste jer i sam aeroprofil raste kako bi trapez zadovoljio zadatu površinu krila S pri fiksnom razmahu b (odabrana vitkost \mathcal{R}).
- Suženo krilo može biti kruće i jače od pravougaonog, a istovremeno i lakše od njega.
- Praktični minimum suženja može biti diktiran visinom potrebnom za komandovanje krilcima.
- Suženje je glavni parametar koji utiče na karakter otcepljenja strujanja po razmahu.



Suženje krila – 2/4

- Položaj otcepljenja u odnosu na ravan simetrije za **nevitopereno** krilo:

$$\frac{y_{otcep}}{b/2} \cong 1 - \lambda.$$

- Kod manjih vrednosti λ može se očekivati i ranije otcepljenje zbog umanjenja Reynoldsovog broja i sa njim sniženje maksimalnog koeficijenta uzgona.
- S obzirom da suženje blago dostiže svoj optimum nije celishodno primenjivati suženja manja od $\lambda \leq 0.4$.
- Kada su definisani površina krila S , vitkost (razmah) i suženje krila, projekcija krila na horizontalnu ravan je u potpunosti definisana.



Suženje krila – 3/4

- Ako je poznato S , b i λ tada je:

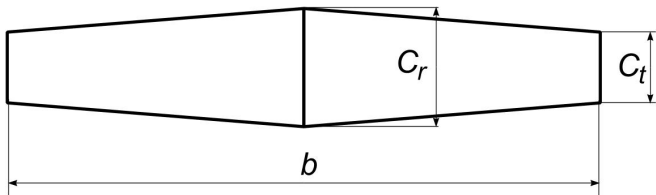
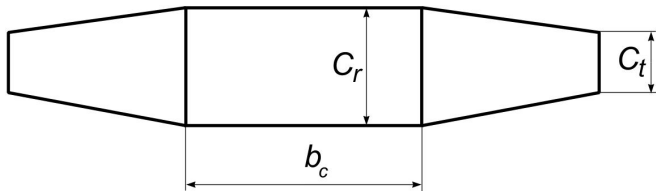
$$c_r = \frac{S}{b} \cdot \frac{2}{1 + \lambda}, \quad c_t = \lambda \cdot c_r.$$

- Za krilo sa centroplanom ako je poznato b , S , λ i b_c :

$$c_r = \frac{S}{b_c + (1 + \lambda) \cdot \frac{b - b_c}{2}}.$$



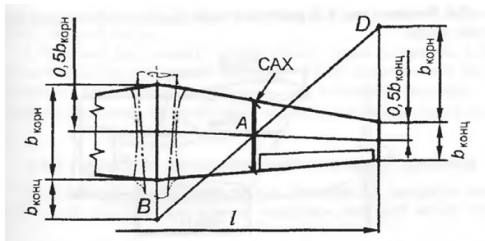
Suženje krila – 4/4



Srednja geometrijska tetiva (SGT) krila – 1/2

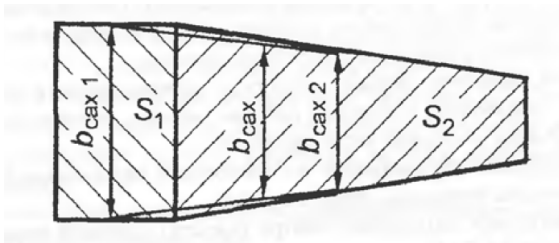
Značajna kao referentna veličina za procenu aerodinamičkih karakteristika/veličina.

- Kod pravougaonog krila odgovara (konstantnoj) tetivi krila.
- Kod trapeznog krila može se odrediti grafički.



Srednja geometrijska tetiva (SGT) krila – 2/2

Kod krila složenijeg oblika ili višekrilaca može se proceniti osrednjavanjem po površini srednjih geometrijskih tetiva svakog segmenta SGT_1 i SGT_2 .



$$SGT = \frac{SGT_1 S_1 + SGT_2 S_2}{S_1 + S_2}$$



Relativna debljina krila – 1/2

Pri ostalim fiksnim parametrima krila povećanje debljine dovodi:

- do povećanja visine ramenjače i unutrašnje zapremine krila,
- do smanjenja težine krila,
- do povećanja krutosti krila na savijanje i uvijanje,
- do povećanja otpora krila i do povećanja $C_{L_{max}}$ ($t/c \leq 16\% \div 18\%$).

Povećavanje vitkosti krila mora biti kompenzovano istovremenim povećanjem relativne debljine krila.

Sužavanje krila unekoliko kompenzuje potrebu za povećanjem relativne debljine krila jer raste tetiva korenog aeroprofila.



Relativna debljina krila – 2/2

- Najčešće primenjivane relativne debljine $t/c = 14\% \div 18\%$.
- Relativne debljine $t/c > 20\%$ dovode do porasta profilnog otpora što limitira vitkost krila na $\mathcal{R} \leq 13$.
- Najpogodnija relativna debljina za manje letelice je oko 15% za aeroprofil u ravni simetrije dok se aeroprofili na vrhu krila biraju u rasponu $t/c = 10\% \dots 15\%$.
- Praktični minimum debljine zavisi od potrebnog prostora za normalan rad komandi krila.



Izbor aeroprofila – 1/10

Principi:

- Većim delom duž razmaha krilo mora imati nizak profilni otpor u rasponu C_L uobičajenom za krstarenje.
- Profil na kraju krila bi trebalo da ima veći maksimalni koeficijent uzgona aeroprofila, a otcepljenje treba da ima blagi karakter.
- Koreni aeroprofil sa izvučenim zakrilcima treba da ima visoki koeficijent uzgona i relativno mali porast otpora u režimu penjanja.
- Koeficijent momenta propinjanja bi trebalo da bude mali kako bi uravnotežavajuća sila repa bila mala i kako bi opterećenje trupa bilo manje.



Izbor aeroprofila – 2/10

- Minimalni koeficijent otpora je niži za tanje aeroprofile.
- Aeroprofil treba da ima maksimalnu moguću debljinu jer to utiče na smanjenje težine celog krila.
- Sa druge strane, neophodno je obezbediti zadovoljavajuću zapreminu za smeštanje goriva i stajnog trapa.
- Osnovni geometrijski parametri aeroprofila su relativna debljina t/c i krivina f/c , kao i položaj ovih parametara u odnosu na napadnu ivicu aeroprofila.



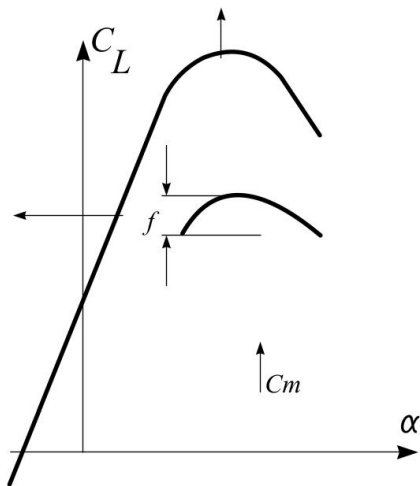
Izbor aeroprofila – 3/10

Relativna krivina aeroprofila

- Relativna krivina definiše ugao nultog uzgona α_o , ($C_L = 0$).
- Osim toga, definiše koeficijent momenta C_m i koeficijent uzgona pri minimalnom profilnom otporu, kao i $C_{L_{max}}$.
- Veća krivina daje veći $C_{L_{max}}$ ali i veći C_m što zahteva veću silu horizontalnog repa – veći otklon elevatora, porast otpora.
- Krivina se bira tako da u režimu krstarenja koeficijent uzgona C_L bude blizak vrednosti pri kojoj je finesa najveća $(C_L/C_D)_{max}$.
- Akrobatske letelice imaju simetričan aeroprofil zbog što sličnijih karakteristika u prevrnutom letu!



Izbor aeroprofila – 4/10



Izbor aeroprofila – 5/10

Položaj maksimalne debljine

- Što je dalji od napadne ivice to je manji profilni otpor.
- Što je dalji od napadne ivice to je manje $C_{L_{max}}$.
- Što je dalji od napadne ivice to je veći otpor aeroprofila pri većim napadnim uglovima.



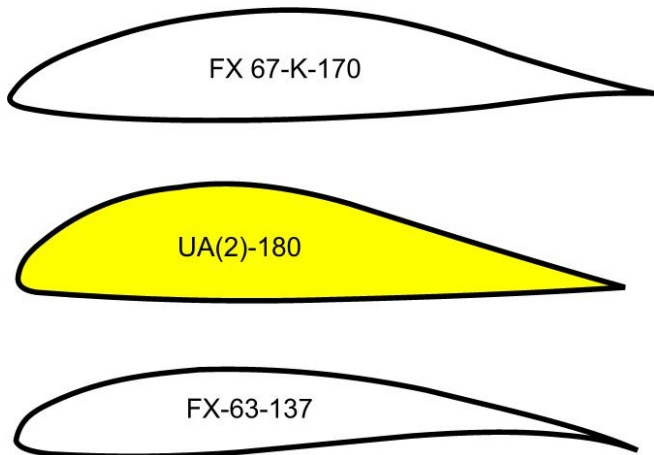
Izbor aeroprofila – 6/10

Položaj maksimalne krivine

- Kod tanjih aeroprofila približavanje napadnoj ivici povećava $C_{L_{\max}}$ i izaziva otcepljenje sa napadne ivice – nagli pad uzgona.
- Što je niži $C_{L_{\max}}$ to je blaži proces otcepljenja strujanja.
- Pomeranje maksimalne krivine unazad ublažava proces otcepljenja.



Izbor aeroprofila – 7/10



Slika: Aeroprofil za male Reynoldsove brojeve



Izbor aeroprofila – 8/10

FX 47-K-170

No.	Metal coefficients of the UAC-200 ring		NR	X/T	YU/T	YU/T
	X	Y				
1	0.0	0.0	1	1.00000	0.00000	0.00000
2	0.0029	0.01267	2	0.99999	0.00000	0.00000
3	0.01109	0.03081	3	0.99997	0.00000	0.00000
4	0.04621	0.06944	4	0.99572	0.00113	0.00022
5	0.07157	0.08844	5	0.99039	0.00243	0.00044
6	0.10195	0.10389	6	0.98296	0.00415	0.00076
7	0.13680	0.11689	7	0.97247	0.00631	0.00105
8	0.17603	0.12739	8	0.95844	0.00914	0.00145
9	0.21941	0.13589	9	0.94044	0.01291	0.00204
10	0.26735	0.14173	10	0.91913	0.01866	0.00272
11	0.31980	0.14529	11	0.89469	0.02548	-0.00149
12	0.37689	0.14689	12	0.86722	0.03409	-0.00309
13	0.43854	0.14689	13	0.83767	0.04437	-0.00325
14	0.49411	0.14535	14	0.80438	0.05287	-0.00913
15	0.55399	0.14173	15	0.77779	0.06229	-0.01236
16	0.61757	0.13589	16	0.75000	0.07253	-0.01592
17	0.68435	0.12739	17	0.72143	0.08429	-0.02008
18	0.75399	0.11689	18	0.69134	0.09743	-0.02487
19	0.82603	0.10389	19	0.66072	0.10208	-0.02547
20	0.89999	0.08844	20	0.62941	0.11063	-0.02654
21	0.97626	0.07157	21	0.59755	0.11908	-0.02844
22	1.05435	0.05381	22	0.56527	0.12719	-0.03155
23	1.13399	0.03614	23	0.53270	0.13499	-0.03524
24	1.21489	0.01914	24	0.50000	0.14274	-0.03945
25	1.29669	0.00296	25	0.46730	0.14999	-0.04415
26	1.37999	-0.01267	26	0.43474	0.15671	-0.04945
27	1.46435	-0.02814	27	0.40247	0.16299	-0.05531
28	1.54939	-0.04435	28	0.37049	0.16874	-0.06181
29	1.63489	-0.06143	29	0.33926	0.17399	-0.06899
30	1.72049	-0.07914	30	0.30866	0.17874	-0.07674
31	1.80609	-0.09714	31	0.27866	0.18309	-0.08504
32	1.89169	-0.11535	32	0.24933	0.18709	-0.09394
33	1.97709	-0.13389	33	0.22066	0.19074	-0.10344
34	2.06209	-0.15269	34	0.19266	0.19409	-0.11354
35	2.14709	-0.17169	35	0.16526	0.19709	-0.12424
36	2.23169	-0.19089	36	0.13846	0.20000	-0.13554
37	2.31569	-0.21029	37	0.11226	0.20266	-0.14744
38	2.39869	-0.22989	38	0.08666	0.20500	-0.16004
39	2.48109	-0.24969	39	0.06166	0.20700	-0.17324
40	2.56269	-0.26969	40	0.03726	0.20874	-0.18704
41	2.64369	-0.28989	41	0.01346	0.21024	-0.20144
42	2.72369	-0.31029	42	0.00000	0.21144	-0.21644
43	2.80269	-0.33089	43	0.00000	0.21234	-0.23204
44	2.88069	-0.35169	44	0.00000	0.21294	-0.24824
45	2.95769	-0.37269	45	0.00000	0.21324	-0.26504
46	3.03369	-0.39389	46	0.00000	0.21324	-0.28244
47	3.10869	-0.41529	47	0.00000	0.21294	-0.30044
48	3.18269	-0.43689	48	0.00000	0.21234	-0.31904
49	3.25569	-0.45869	49	0.00000	0.21144	-0.33824
50	3.32769	-0.48069	50	0.00000	0.21024	-0.35804

DICKE/T...= 0.170 RUECKLAGE/T...= 0.402
 WUEBLUNG/T...= 0.051 RUECKLAGE/T... 0.435

PROFILTIEFE...= T



Izbor aeroprofila – 9/10

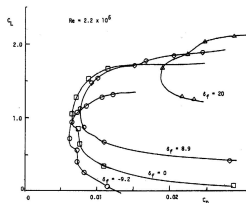


Figure 6
Effect of flap deflection on the drag polar

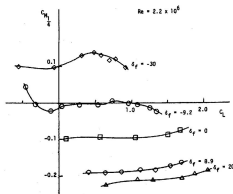


Figure 7
Effect of flap deflection on the pitching moment

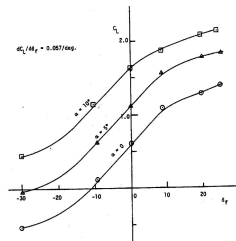
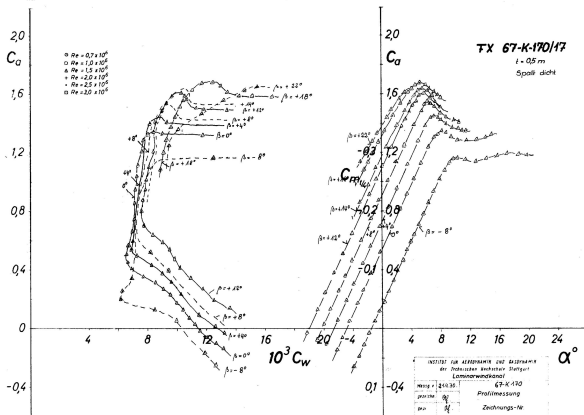


Figure 4
Effect of flap deflection on lift: C_L vs. δ_f

Slika: Aerodinamičke karakteristike UA(2)-180



Izbor aeroprofila – 10/10



127



Uticaj vitoperenja na otcepljenje krila – 1/6

- Treba izbeći mogućnost nekontrolisanog otcepljenja i lako izbegavanje ako se ono i desi.
- Otcepljenje na krajevima krila izaziva oštro valjanje aviona. Mogućnost korekcije krilcima je smanjena zbog zasenčenja krilaca otcepljenom strujom.
- Pogodno je da aeroprofil na vrhu krila ima blagi maksimum koeficijenta uzgona bez naglog pada uzgona.
- Otcepljenje u korenom delu može uticati na bafeting repa ukoliko se nalazi u zoni otcepljene struje.
- Otcepljenje u korenu može biti poželjno jer smanjuje napadni ugao letelice i vraća letelicu u let bez otcepljenja.



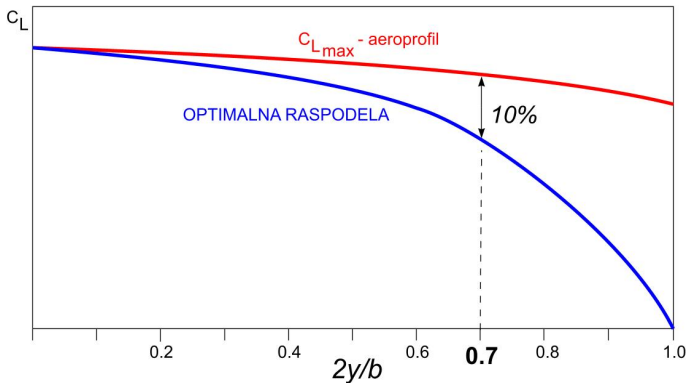
Uticaj vitoperenja na otcepljenje krila – 2/6

Poželjne karakteristike krila:

- Otcepljena zona ne bi trebalo da je veća od 40% razmaha krila mereno u odnosu na ravan simetrije.
- Razvoj inicijalnog otcepljenja treba da se usmerava ka ravni simetrije, a ne suprotno.
- Rezerva sigurnosti na 70% razmaha krila mora biti bar $\Delta C_{L_{\max}} \sim 0.1$ – ilustrovano sledećim slajdom.



Uticaj vitoperenja na otcepljenje krila – 3/6



Slika: "Optimalna" raspodela lokalnog koeficijenta uzgona



Uticaj vitoperenja na otcepljenje krila – 4/6

- Vitkost krila ne utiče na karakteristike otcepljenja.
- Krila konstantne relativne debljine imaju poželjniju karakteristiku pri otcepljenju.
- Tanki aeroprofil sa oštrim nosom naglo gube nosivost.
- Oštro otcepljenje se dešava kod krila sa velikim suženjem i tankim aeroprofilom na kraju krila.
- Deblji aeroprofil sa zatupljenim nosnim delom sporije gube nosivost tako da je u slučaju nesimetričnog otcepljenja reakcija pilota moguća.

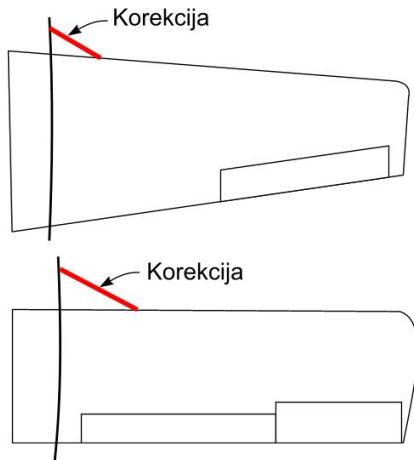


Uticaj vitoperenja na otcepljenje krila – 5/6

- Geometrijsko vitoperenje veće od $\epsilon > 5^\circ$ dovodi do znatnog povećanja induktivnog otpora.
- Veća suženja su moguća samo ukoliko koreni aeroprofil $t/c \geq 12\%$.
- Uticaj trupa i gondola može imati nedefinisani uticaj na karakteristiku krila.
- Može se desiti da letna ispitivanja zahtevaju korekciju karakteristika otcepljenja krila. To se može postići efektivnim smanjenjem relativne debljine krila u korenu – sledeći slajd.
- Ovime se smanjuje krivina aeroprofila i relativna debljina čime se inicira ranije otcepljenje.



Uticaj vitoperenja na otcepljenje krila – 6/6



Slika: Korekcija karakteristika otcepljenja nakon letnih ispitivanja



Krilca – 1/18

- Najčešće, krilce ima isto suženje kao i samo krilo.
- Povećanje krutosti krilca se može ostvariti primenom krilca konstantne tetive.
- Spojler (interceptor) smanjuje uzgon krila izazivajući svaljivanje na stranu na kojoj deluje.
- Spojler generiše poželjan ugao klizanja, može se instalirati po celom razmahu krila.
- Spojler ima mali koeficijent otpora u neutralnom položaju.
- Zakrilci se mogu primeniti po celom razmahu krila i u slučaju primene spojlera.

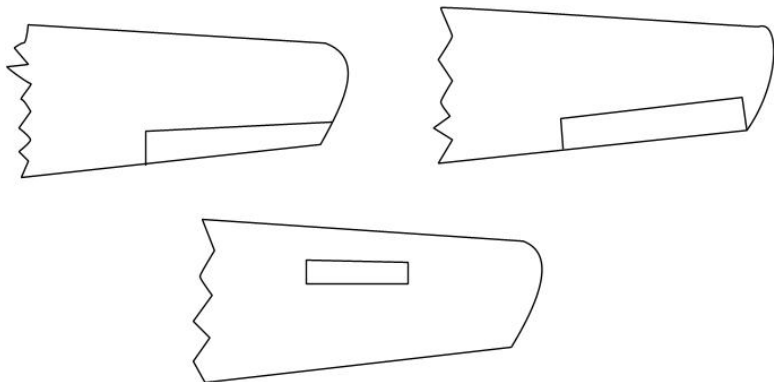


Krilca – 2/18

- Strukturalno su zakrilci lakši od krilaca jer se koriste pri manjim brzinama.
- Spojlerima se menja uzgonska sila krila bez promene napadnog ugla.
- Osnovni nedostatak spojlera je njegova nelinearnost, ali i mogućnost reverznog dejstva pri malim i velikim otklonima, neefikasnost pri velikim napadnim uglovima u otcepljenju.
- Smanjenje uzgona letelice i gubitak visine – mali značaj za lake letelice jer komplikuju sistem upravljanja.



Krilca – 3/18



Krilca – 4/18

- Spojleri se isključivo stavljaju na gornjaku krila na $0.7 \div 0.8$ tetive krila od napadne ivice.
- Što je spojler dalje od napadne ivice krila to je manje efikasan, a manji je i napadni ugao za koji je njegovo dejstvo efikasno.
- Površina spojlera $(3.3\% \div 4.3\%) \cdot S$.
- Tetiva spojlera $(0.05 \div 0.1) \cdot c$.
- Položaj spojlera $(55\% \div 65\%) \cdot b/2$ (polu-razmaha krila).
- Maksimalni ugao otklona manji od $45^\circ \div 50^\circ$ (izbegavanje reversa).
- Spojlere je zgodno primeniti sa krilcima koja imaju redukovani opseg otklona, kao dodatak za veće otklone.



Krilca – 5/18

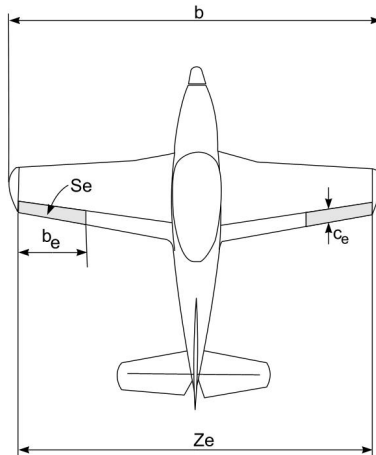
Efikasnost krilaca zavisi od:

- odnosa tetiva c_e/c ,
- odnosa razmaha b_e/b ,
- ugla otklona krilaca i
- od njihovog položaja na krilu.
- Geometrijski parametri krilaca su dati na sledećem slajdu.
- Relativna površina krilaca:

$$\bar{S}_e = \frac{2S_e}{S}.$$



Krilca – 6/18



Krilca – 7/18

Avion sa jednim motorom

- Relativna površina krilaca:

$$\bar{S}_e = \frac{2S_e}{S} = 0.079(\pm 0.018), \quad \bar{S}_e \in (0.055, 0.11)$$

- Relativno rastojanje krilaca

$$\bar{b}_e = \frac{2b_e}{b} = 0.37(\pm 0.063), \quad \bar{b}_e \in (0.32, 0.49)$$

- Relativna tetiva krilca

$$\bar{c}_e = \frac{c_e}{c} = 0.26(\pm 0.058), \quad \bar{c}_e \in (0.17, 0.38)$$

- Relativna koordinata kraja krilaca

$$\bar{z}_e = \frac{Z_e}{b} = 0.94(\pm 0.046), \quad \bar{z}_e \in (0.84, 1.0)$$



Krilca – 8/18

Avion sa dva motora

- Relativna površina krilaca:

$$\bar{S}_e = \frac{2S_e}{S} = 0.062(\pm 0.0127), \quad \bar{S}_e \in (0.044, 0.087)$$

- Relativno rastojanje krilaca

$$\bar{b}_e = \frac{2b_e}{b} = 0.315(\pm 0.058), \quad \bar{b}_e \in (0.25, 0.45)$$

- Relativna tetiva krilca

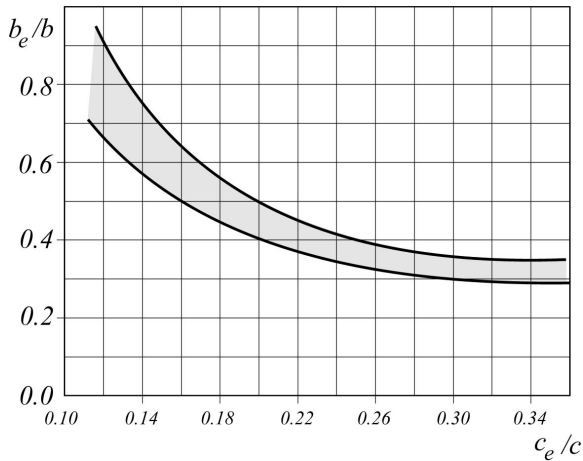
$$\bar{c}_e = \frac{c_e}{c} = 0.26(\pm 0.038), \quad \bar{c}_e \in (0.18, 0.31)$$

- Relativna koordinata kraja krilaca

$$\bar{Z}_e = \frac{Z_e}{b} = 0.93(\pm 0.048), \quad \bar{Z}_e \in (0.84, 99)$$



Krilca – 9/18



Slika: Trend za izbor dimenzija krilaca

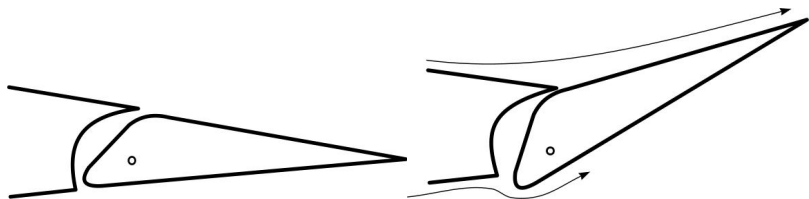


Krilca – 10/18

- Krilce koje povećava uzgon (otklon na dole) povećava induktivni otpor tako da se osim momenta valjanja javlja i moment skretanja.
- Moment skretanja deluje na suprotnu stranu od poželjne.
- Zbog toga je neophodno umanjiti taj moment:
 - ▶ Diferencijalnim otklonom krilaca (25° – nagore i 15° – nadole).
 - ▶ Profilisanjem nosa krilca tako da doda otpor u pravom smeru.



Krilca – 11/18



Slika: Otklon na gore izbacuje nosni deo krilca koji generiše otpor u poželjnom smislu!

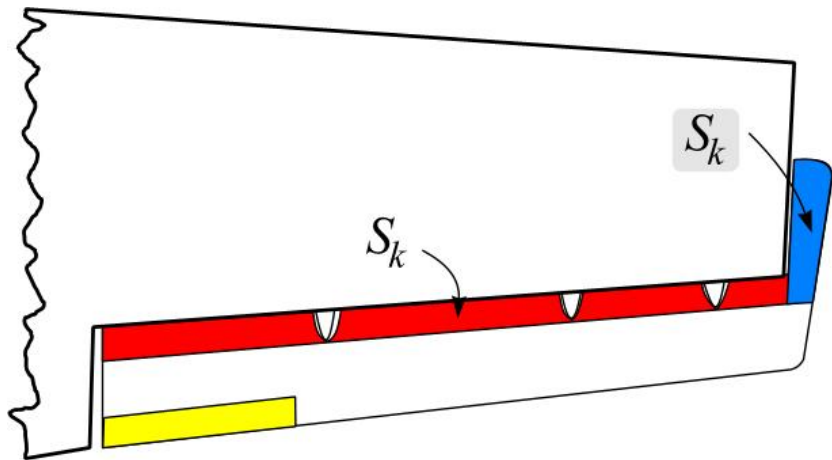


Krilca – 12/18

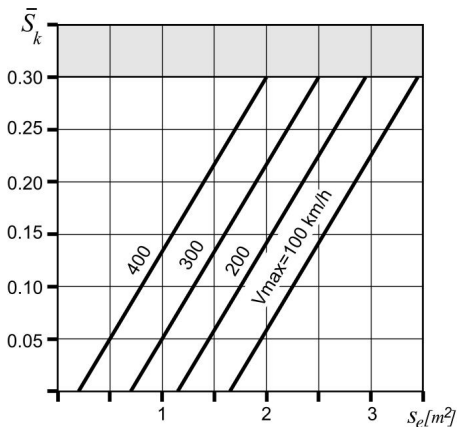
- Krilca su opterećenija od zakrilaca jer se otklanjaju i pri velikim brzinama.
- Pri većim brzinama sile na palici postaju prevelike.
- Rešenje je aerodinamička kompenzacija.
- Osa obrtanja se pomera u unutrašnjost krilca čime jedan deo krilca smanjuje ukupan moment potreban za njegov otklon.
- Za još veće sile kompenzacija se vrši segmentom elevatora isturenim prema napadnoj ivici horizontalnog repa.
- Za letelice površine krila do $10 \text{ [m}^2\text{]}$ i brzine ispod 250 [km/h] nije potrebno vršiti kompenzaciju.



Krilca – 13/18



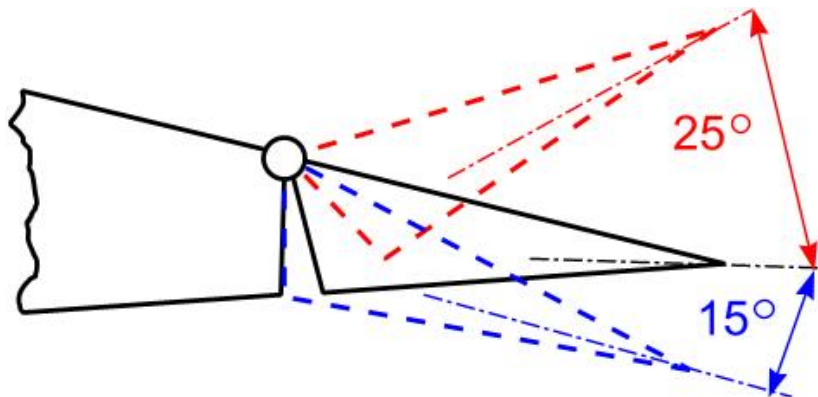
Krilca – 14/18



Slika: Nomogram za izbor kompenzacije



Krilca – 15/18



Krilca – 16/18

Primer

Odrediti dimenzije krilaca za avion za koji se zna da je $R = 7.53$, $S = 11.35 \text{ [m}^2\text{]}$ i $b = 9.24 \text{ [m]}$.

Rešenje

Na osnovu gornjih trendova za jednomotorni avion:

$$\bar{S}_e = \frac{2S_e}{S} = 0.079, \quad \Rightarrow \quad S_e = 0.079 \cdot 11.35/2 \cong 0.45 \text{ [m}^2\text{]}$$

Relativni razmah krilaca:

$$\frac{2 \cdot b_e}{b} = \bar{b}_e = 0.370, \quad b_e = 0.370 \cdot 9.24/2 \cong 1.71 \text{ [m]}$$



Krilca – 17/18

Tetiva krila:

$$c = \frac{S}{b} = \frac{11.35}{9.24} \cong 1.23 \text{ [m]}$$

Relativna tetiva krilaca:

$$\frac{c_e}{c} = \bar{c}_e = 0.26, \quad c_e = 0.26 \cdot 1.23 \cong 0.32 \text{ [m]}$$

Pozicija kraja krilaca:

$$\bar{z}_e = \frac{Z_e}{b} = 0.94, \quad Z_e = 0.94 \cdot 9.24 \cong 8.69 \text{ [m]}$$



Krilca – 18/18

```
% nastavak skripta...

% krilca
Se = 0.079*S/2; disp('Se [m^2]'), disp(Se)
be = 0.370*b/2; disp('be [m]'), disp(be)
ce = 0.26*c; disp('ce [m]'), disp(ce)
ze = 0.94*b; disp('ze [m]'), disp(ze)
```

